

Algorytmy geometryczne

Sprawozdanie z laboratorium 2.

Dawid Zawiaślak gr. Czw. 13:00 A

Dane techniczne urządzenia oraz narzędzia za pomocą których wykonano ćwiczenia:

- Laptop z systemem operacyjnym Windows 11
- Procesor Intel Pentium Gold 8505
- RAM 8 GB

Do realizacji ćwiczenia użyto środowiska Jupyter Notebook z Pythonem w wersji 3.9, wykorzystując bibliotekę numpy (do obliczeń numerycznych), random (do generowania liczb pseudolosowych), pandas (do wyświetlania podsumowań w tabelach), time (do mierzenia czasu wykonywania algorytmów) oraz visualizer przygotowany przez KN BIT (do tworzenia wykresów).

Opis ćwiczenia:

Naszym celem na drugich zajęciach laboratoryjnych było wyznaczanie otoczki wypukłej dla danych zbiorów punktów, czyli najmniejszego zbioru punktów tworzącego wielokąt wypukły i zawierającego wewnątrz wszystkie pozostałe punkty.

Do wyznaczania otoczki użyte zostały dwa algorytmy: algorytm Grahama oraz algorytm Jarvisa.

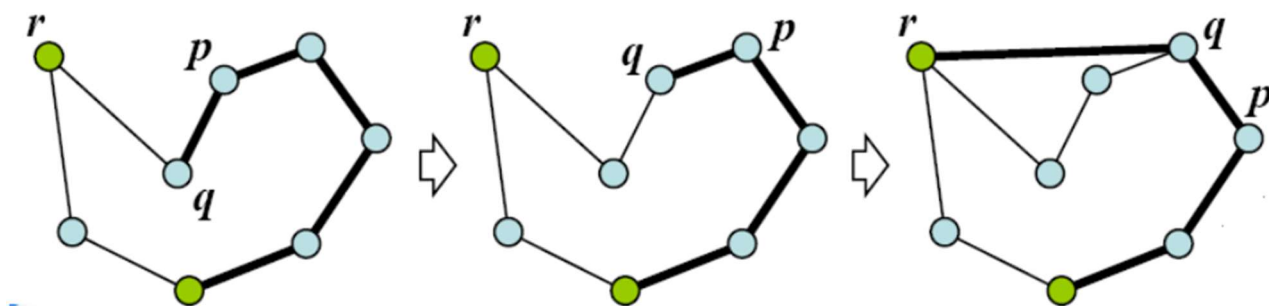
Algorytm Grahama:

- 1) W zbiorze punktów Q wybieramy punkt p_0 o najmniejszej współrzędnej y , oraz najmniejszą współrzędną x w przypadku, gdy wiele punktów ma tę samą współrzędną y .
- 2) Niech (p_1, p_2, \dots, p_n) będzie pozostałym zbiorem punktów w Q posortowanym zgodnie z przeciwnym ruchem wskazówek zegara wokół punktu p_0 , licząc kąt odchylenia od dodatniego kierunku osi OX (jeżeli więcej niż jeden punkt ma ten sam kąt to usuwamy wszystkie punkty z wyjątkiem tego najbardziej oddalonego od p_0).
- 3) Tworzymy pusty stos S i umieszczamy w nim kolejno punkty p_0, p_1, p_2 .
 t – indeks ostatniego elementu stosu.
- 4) **For** $i = 3 \dots n$
 While kąt utworzony przez $S[t-1], S[t]$ oraz p_i tworzy lewostronny skręt
 $S.pop()$
 $S.append(p_i)$
- 5) Po wykonaniu tej pętli na stosie znajdują się tylko wierzchołki należące do otoczki.

Złożoność obliczeniowa:

$$O(n) + O(n \log n) + O(n-3) = O(n \log n)$$

szukanie p_0 sortowanie krok 4)



Algorytm Jarvisa (owijanie prezentu):

1) W zbiorze punktów Q wybieramy punkt p_0 o najmniejszej współrzędnej y , oraz najmniejszą współrzędną x w przypadku, gdy wiele punktów ma tą samą współrzędną y .

2) **For** $i = 0 \dots n$

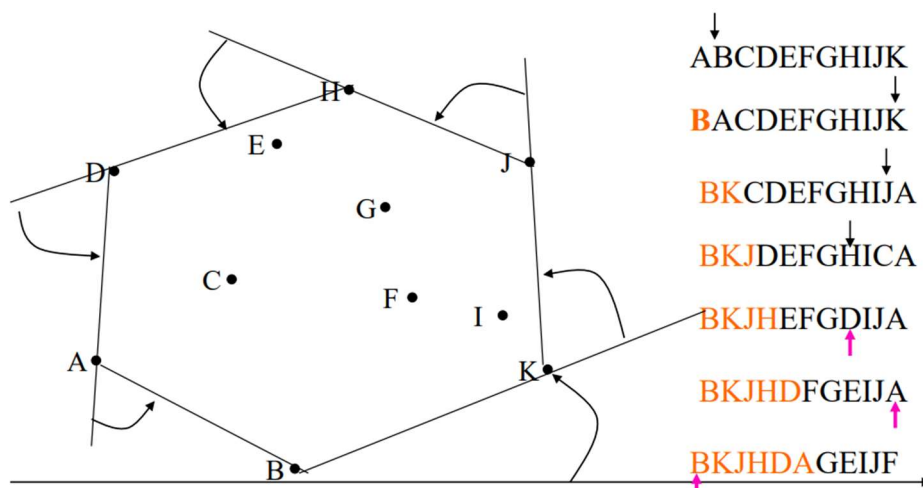
For $j = 0 \dots i-1, i+1 \dots n$:

Znajdź punkt, dla którego kąt liczony przeciwnie do wskazówek zegara odniesieniu do ostatniej krawędzi otoczki jest najmniejszy i dodaj go do zbioru punktów otoczki.

Jeśli ostatnio dodany wierzchołek to p_0 przerwij algorytm.

Złożoność obliczeniowa:

$O(n^2)$, lub gdy liczba wierzchołków otoczki jest ograniczona przez stałą k , to $O(nk)$



Wykonanie ćwiczenia:

1. Generowanie zbiorów punktów do testów

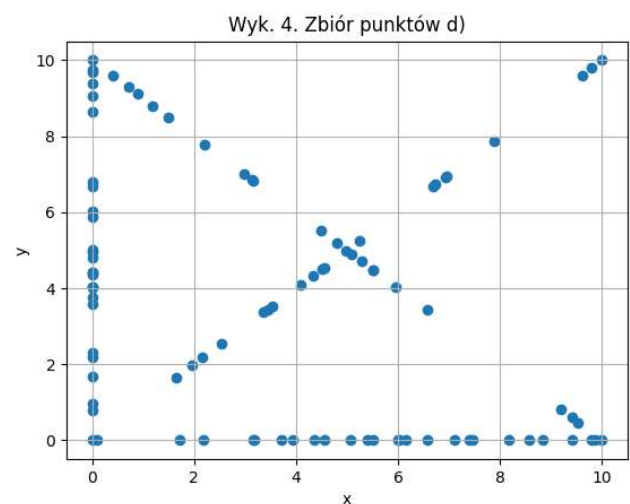
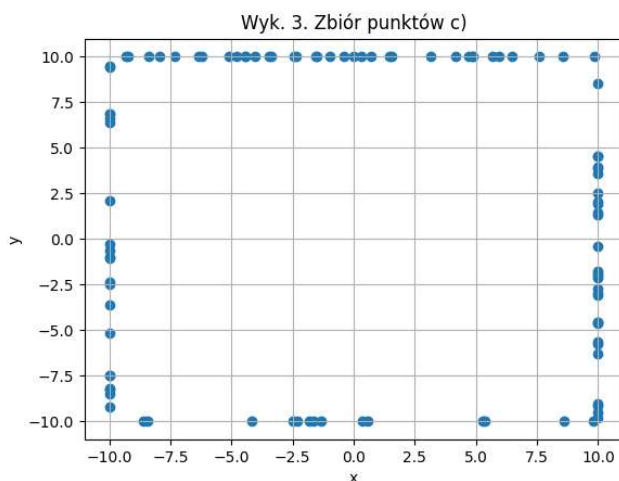
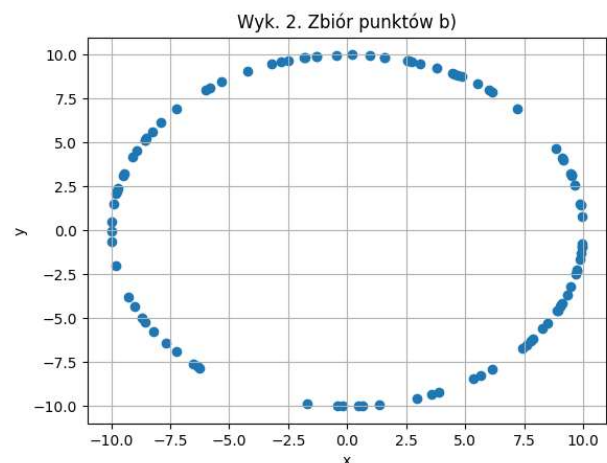
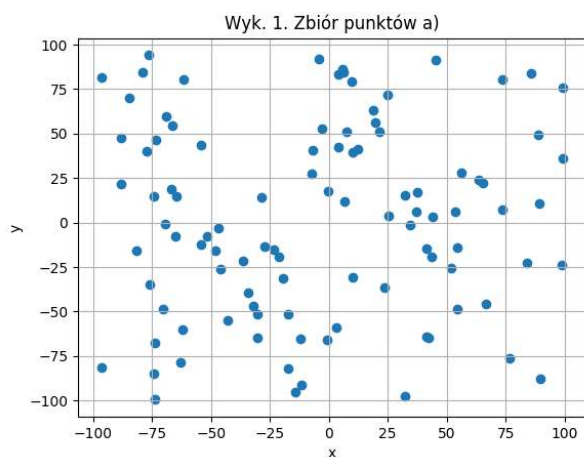
W celu realizacji ćwiczenia konieczne było przygotowanie odpowiednich danych testowych. Do pierwszej części wykorzystałem następujące zbiory współrzędnych typu float wygenerowane przy pomocy funkcji **uniform** z biblioteki **random**:

a) zawierający 100 losowo wygenerowanych punktów o współrzędnych z przedziału $[-100, 100]$ (Wyk 1.),

b) zawierający 100 losowo wygenerowanych punktów leżących na okręgu o środku $(0,0)$ i promieniu $R=10$ (Wyk 2.),

c) zawierający 100 losowo wygenerowanych punktów leżących na bokach prostokąta o wierzchołkach $(-10, 10)$, $(-10,-10)$, $(10,-10)$, $(10,10)$ (Wyk 3.),

d) zawierający wierzchołki kwadratu $(0, 0)$, $(10, 0)$, $(10, 10)$, $(0, 10)$ oraz punkty wygenerowane losowo w sposób następujący: po 25 punktów na dwóch bokach kwadratu leżących na osiach i po 20 punktów na przekątnych kwadratu (Wyk 4.),



Do wykonania kolejnej części zadania przygotowałem funkcje generujące sparametryzowane zbiory odpowiadające typom z 4.1. ze względu na ilość i położenie punktów:

- a) `generate_uniform_points(left, right, n)` – generująca zbiór A przy podanych granicach osi x i y oraz zadanej liczności
- b) `generate_circle_points(O, R, n)` – generująca zbiór B o zadanyśrodku i promieniu oraz liczności
- c) `generate_rectangle_points(a, b, c, d, n)` – generująca zbiór C na określonym prostokącie i zadanej liczności
- d) `generate_square_points(a, b, c, d, axis_n, diag_n)` – generująca zbiór D na określonym kwadracie oraz z określoną licznoscią punktów na przekątnych i bokach

2. Wyznaczanie otoczek dla pierwszych zbiorów testowych

Algorytmy są realizowane odpowiednio przez funkcje: **graham_algorithm**, **jarvis_algorithm**, a ich wizualizacje przez **graham_algorithm_draw**, **jarvis_algorithm_draw**.

Do wyznaczania odchylenia punktów użyłem funkcji **orient**, która korzysta z wyznacznika 3x3 z tolerancją dla wartości zera wykorzystywaną podczas porównań równą 0, ponieważ dla takiej wartości algorytmy przechodziły wszystkie testy poprawnie.

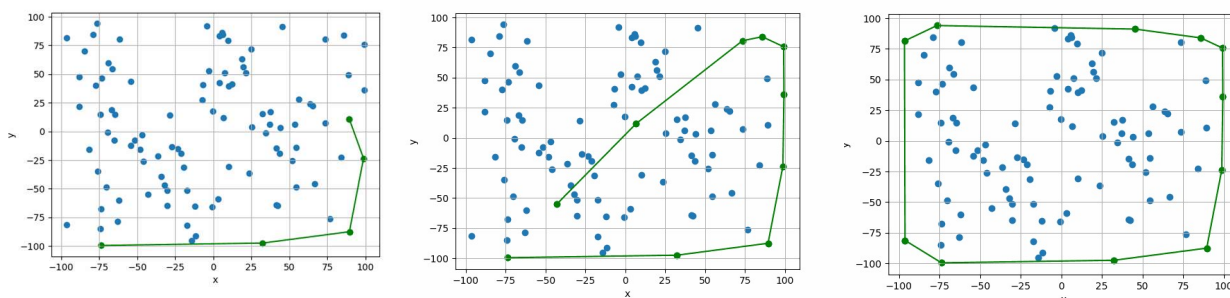
W algorytmie Grahama sortowanie realizuje za pomocą funkcji sort dostępnej w Pythonie oraz zmodyfikowanemu komparatorowi, których sortuje punkty po kącie odchylenia i odległości od punktów p_0 .

Algorytm Jarvisa jeśli funkcja **orient** zwraca 0, to sprawdzam który punkt jest oddalony bardziej od punktu p_0 , aby uniknąć dodawanie niepotrzebnych współliniowych punktów do otoczki zwiększając tym stałą k.

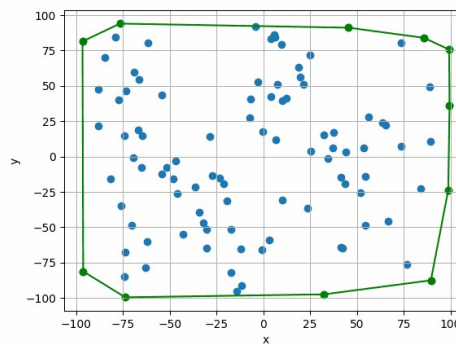
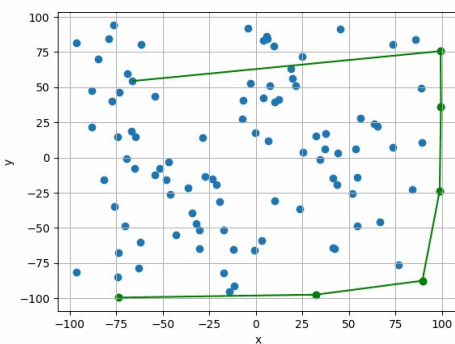
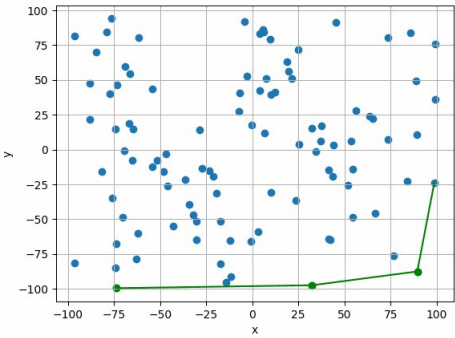
Wizualizacja wszystkich kroków obu algorytmów zawarta jest w jupyter notebooku w postaci gifów, a poniżej umieszczam przykładowe kroki działania tych algorytmów:

Zbiór A

Algorytm Grahama:

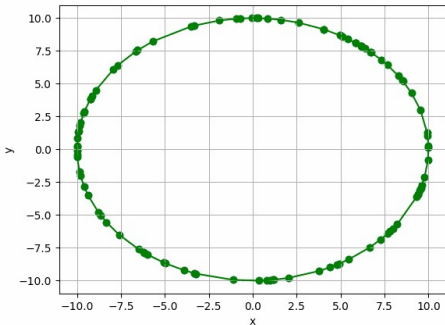
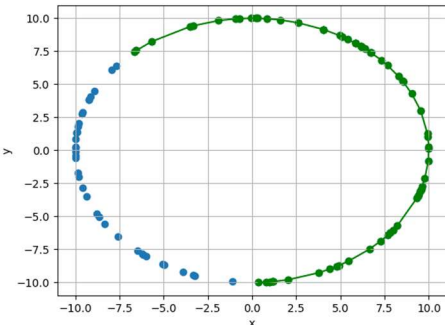
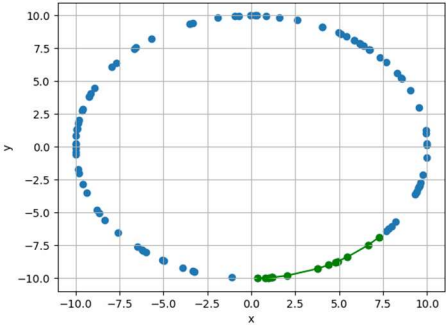


Algorytm Jarvis:

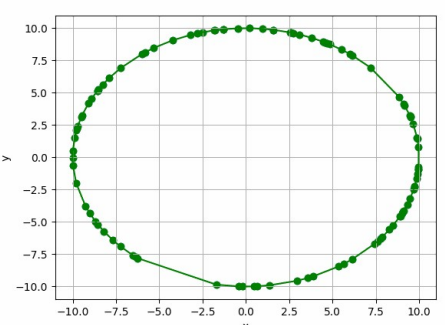
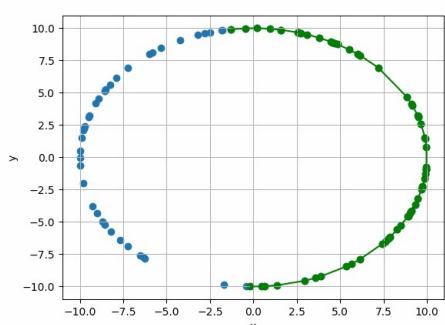
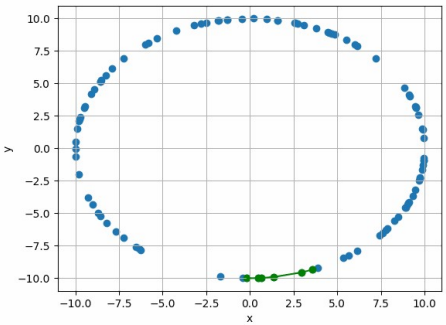


Zbiór B

Algorytm Grahama:

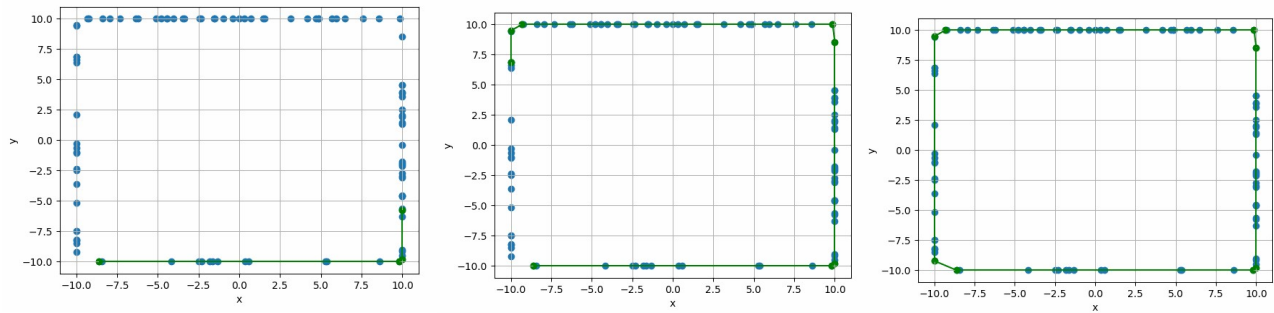


Algorytm Jarvisa:

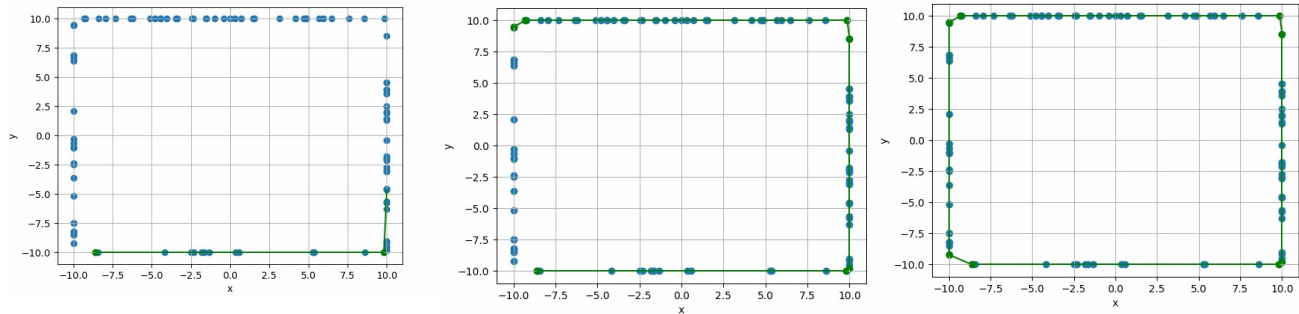


Zbiór C

Algorytm Grahama:

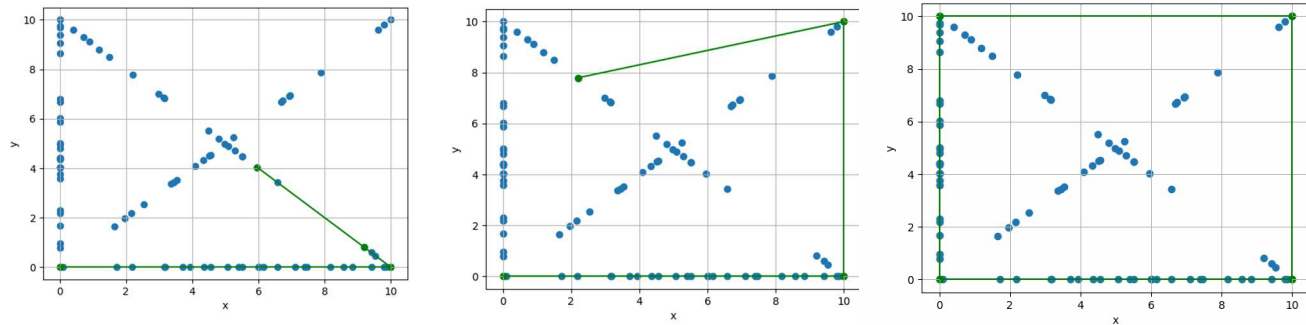


Algorytm Jarvis:

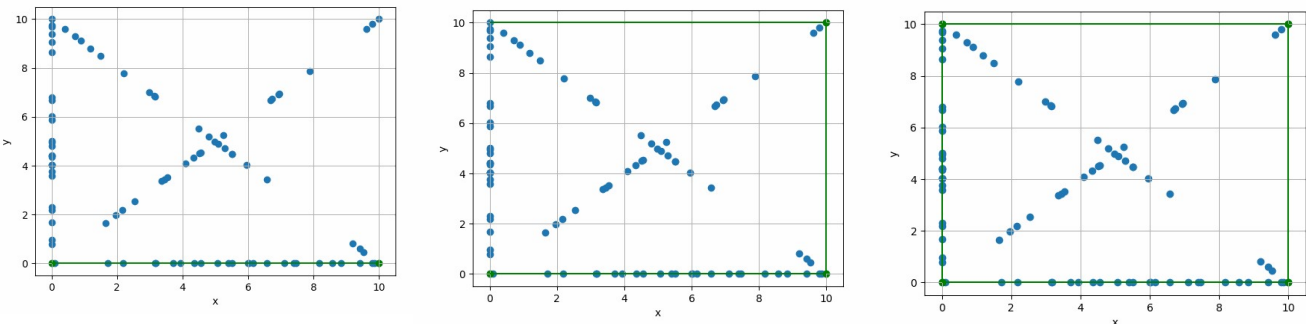


Zbiór D

Algorytm Grahama:



Algorytm Jarvis:



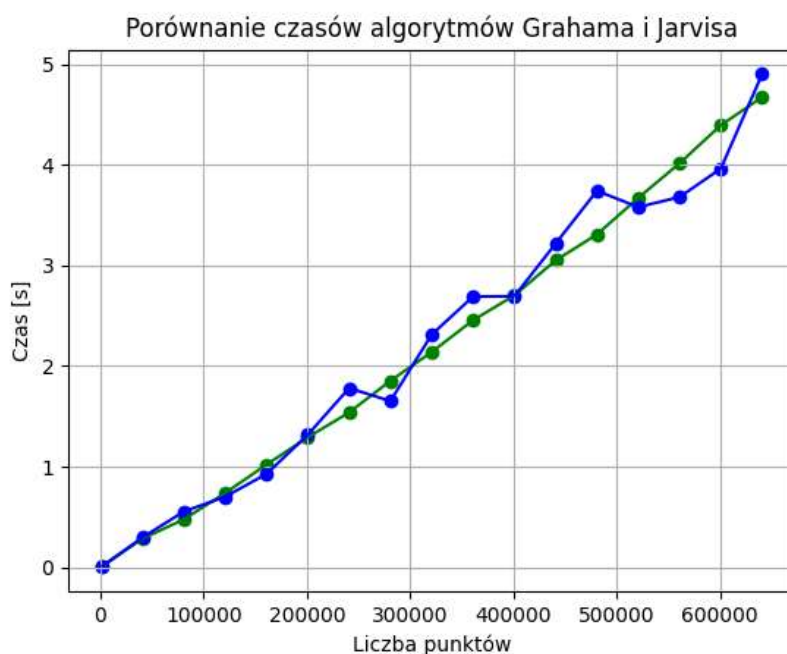
3. Porównanie czasów algorytmów

Do porównania czasów działania algorytmów użyłem pomocniczej funkcji **test_set** oraz funkcji **count_time** korzystającej z funkcji bibliotecznej **perf_counter** z modułu **time**. Porównanie czasów działania obu algorytmów dla określonych danych testowych przedstawiłem w tabelach oraz na wykresach, gdzie na zielono pokazany jest algorytm Grahama, a na niebiesko algorytm Jarvisa.

a) Zbiory typu A, losowe punkty, gdzie współrzędne x i y są zadanego zakresu

| Liczba punktów | Początek zakresu | Koniec zakresu | Czas wykonania Graham [s] | Czas wykonania Jarvis [s] | Szybszy algorytm | Różnica czasów [s] |
|----------------|------------------|----------------|---------------------------|---------------------------|------------------|--------------------|
| 1000 | -200 | 200 | 0.003193 | 0.004318 | Graham | 0.001125 |
| 41000 | -200 | 200 | 0.284798 | 0.296657 | Graham | 0.011859 |
| 81000 | -200 | 200 | 0.476044 | 0.554110 | Graham | 0.078066 |
| 121000 | -200 | 200 | 0.738307 | 0.701088 | Jarvis | 0.037219 |
| 161000 | -200 | 200 | 1.020744 | 0.927454 | Jarvis | 0.093289 |
| 201000 | -200 | 200 | 1.291939 | 1.317741 | Graham | 0.025802 |
| 241000 | -200 | 200 | 1.539199 | 1.780863 | Graham | 0.241664 |
| 281000 | -200 | 200 | 1.853821 | 1.652859 | Jarvis | 0.200962 |
| 321000 | -200 | 200 | 2.140468 | 2.313581 | Graham | 0.173113 |
| 361000 | -200 | 200 | 2.455875 | 2.691559 | Graham | 0.235684 |
| 401000 | -200 | 200 | 2.703166 | 2.694144 | Jarvis | 0.009022 |
| 441000 | -200 | 200 | 3.051110 | 3.218369 | Graham | 0.167259 |
| 481000 | -200 | 200 | 3.309553 | 3.743119 | Graham | 0.433566 |
| 521000 | -200 | 200 | 3.672541 | 3.581228 | Jarvis | 0.091313 |
| 561000 | -200 | 200 | 4.016505 | 3.680975 | Jarvis | 0.335530 |
| 601000 | -200 | 200 | 4.396061 | 3.963846 | Jarvis | 0.432215 |
| 641000 | -200 | 200 | 4.673584 | 4.903598 | Graham | 0.230014 |

Tabela 1 Czasy działania dla zbiorów typu A

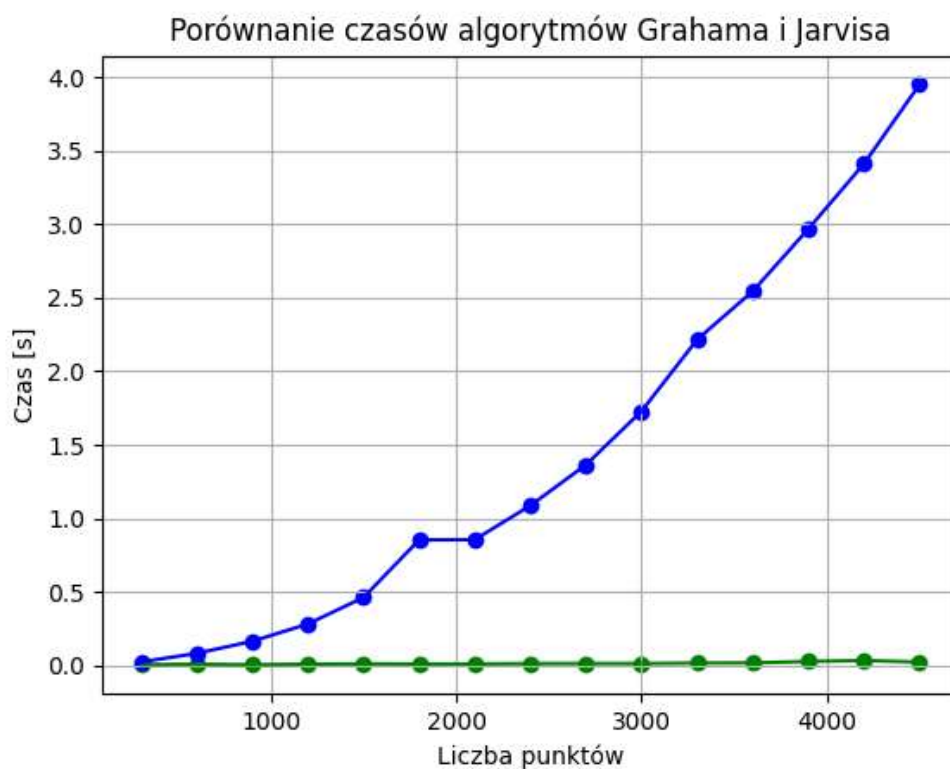


Wyk. 5 Porównanie czasów algorytmów Grahama i Jarvisa dla zbiorów typu A. Zielony - Graham, niebieski - Jarvis

b) Zbiory typu B, punkty leżące na okręgu o określonym promieniu i współrzędnych środka

| Liczba punktów | Środek okręgu | Promień | Czas wykonania Graham [s] | Czas wykonania Jarvis [s] | Szybszy algorytm | Różnica czasów [s] |
|----------------|--|-----------|---------------------------|---------------------------|------------------|--------------------|
| 300 | (-0.11055207335448713, 7.419062625818988) | 0.201019 | 0.005294 | 0.023310 | Graham | 0.018016 |
| 600 | (-13.84818445942873, 7.299878049784773) | 13.881287 | 0.008281 | 0.082019 | Graham | 0.073739 |
| 900 | (12.3100858566944, -16.3289992796517) | 3.510356 | 0.004423 | 0.164374 | Graham | 0.159951 |
| 1200 | (18.92771523480465, -8.582221517120825) | 4.239726 | 0.009161 | 0.281906 | Graham | 0.272745 |
| 1500 | (15.535745196033375, -18.65253120581162) | 10.791620 | 0.011031 | 0.461919 | Graham | 0.450888 |
| 1800 | (1.0314657998888848, 12.301092703729509) | 11.808267 | 0.010304 | 0.853397 | Graham | 0.843093 |
| 2100 | (-6.885298665495728, 11.69638668958942) | 3.313690 | 0.010248 | 0.855146 | Graham | 0.844898 |
| 2400 | (15.360391458752865, -10.650218976815577) | 9.214257 | 0.012832 | 1.086719 | Graham | 1.073887 |
| 2700 | (15.964175075818375, -18.98161682080596) | 0.576863 | 0.013340 | 1.364113 | Graham | 1.350773 |
| 3000 | (17.02776098805576, 16.066715262349305) | 12.557783 | 0.013103 | 1.728766 | Graham | 1.715663 |
| 3300 | (-0.6440550043916673, -7.148960867922893) | 10.578697 | 0.016178 | 2.215686 | Graham | 2.199508 |
| 3600 | (-6.873279251657994, -2.190039493173643) | 2.122663 | 0.017358 | 2.544464 | Graham | 2.527107 |
| 3900 | (-4.617739278077902, 7.552694559770515) | 10.002858 | 0.026890 | 2.967845 | Graham | 2.940955 |
| 4200 | (10.846741216067418, -12.409721480070623) | 13.597140 | 0.033349 | 3.410613 | Graham | 3.377265 |
| 4500 | (-16.943244533672388, -2.5773992846916904) | 19.463036 | 0.022895 | 3.949900 | Graham | 3.927005 |

Tabela 2 Czasy działania dla zbiorów typu B

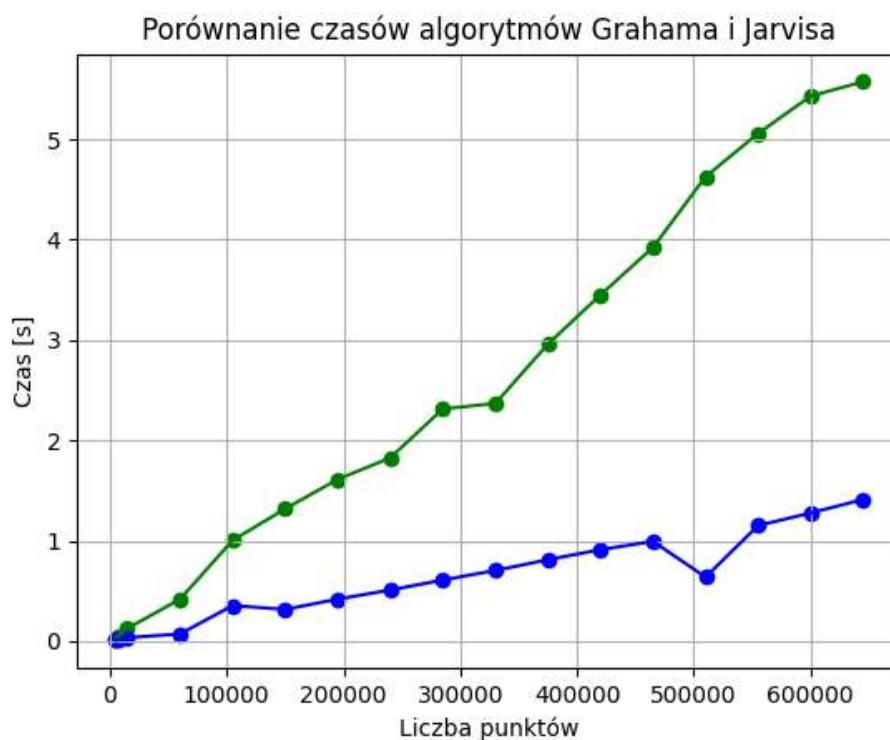


Wyk. 6 Porównanie czasów algorytmów Grahama i Jarvisa dla zbiorów typu B.
Zielony - Graham, niebieski - Jarvis

c) Zbiory typu C, punkty leżące na prostokącie o ustalonych wierzchołkach

| Liczba punktów | Wierzchołki prostokąta | Czas wykonania Graham [s] | Czas wykonania Jarvis [s] | Szybszy algorytm | Różnica czasów [s] |
|----------------|--|---------------------------|---------------------------|------------------|--------------------|
| 3750 | ((-57, -49), (13, -49), (13, -16), (-57, -16)) | 0.021881 | 0.007913 | Jarvis | 0.013968 |
| 7500 | ((48, -8), (0, -8), (0, 56), (48, 56)) | 0.052161 | 0.012149 | Jarvis | 0.040012 |
| 15000 | ((-57, -49), (13, -49), (13, -16), (-57, -16)) | 0.126767 | 0.034614 | Jarvis | 0.092152 |
| 60000 | ((48, -8), (0, -8), (0, 56), (48, 56)) | 0.417019 | 0.070768 | Jarvis | 0.346251 |
| 105000 | ((-18, -11), (47, -11), (47, -8), (-18, -8)) | 1.003209 | 0.353546 | Jarvis | 0.649663 |
| 150000 | ((-20, -49), (39, -49), (39, -42), (-20, -42)) | 1.317080 | 0.315595 | Jarvis | 1.001486 |
| 195000 | ((0, -27), (68, -27), (68, 27), (0, 27)) | 1.611766 | 0.418100 | Jarvis | 1.193666 |
| 240000 | ((-33, -45), (43, -45), (43, 11), (-33, 11)) | 1.825264 | 0.508759 | Jarvis | 1.316505 |
| 285000 | ((-21, -31), (66, -31), (66, 0), (-21, 0)) | 2.313407 | 0.608249 | Jarvis | 1.705158 |
| 330000 | ((-40, -51), (-33, -51), (-33, -24), (-40, -24)) | 2.367545 | 0.703342 | Jarvis | 1.664202 |
| 375000 | ((-36, -16), (49, -16), (49, 62), (-37, 62)) | 2.959018 | 0.810726 | Jarvis | 2.148292 |
| 420000 | ((-37, -16), (49, -16), (49, 62), (-37, 62)) | 3.448505 | 0.910864 | Jarvis | 2.537641 |
| 465000 | ((-57, -49), (13, -49), (13, -16), (-57, -16)) | 3.922117 | 0.992983 | Jarvis | 2.929134 |
| 510000 | ((48, -8), (0, -8), (0, 56), (48, 56)) | 4.626650 | 0.637666 | Jarvis | 3.988984 |
| 555000 | ((-18, -11), (47, -11), (47, -8), (-18, -8)) | 5.057593 | 1.150994 | Jarvis | 3.906599 |
| 600000 | ((-20, -49), (39, -49), (39, -42), (-20, -42)) | 5.429443 | 1.276433 | Jarvis | 4.153010 |
| 645000 | ((0, -27), (68, -27), (68, 27), (0, 27)) | 5.573162 | 1.410970 | Jarvis | 4.162193 |

Tabela 3 Czasy działania dla zbiorów typu C

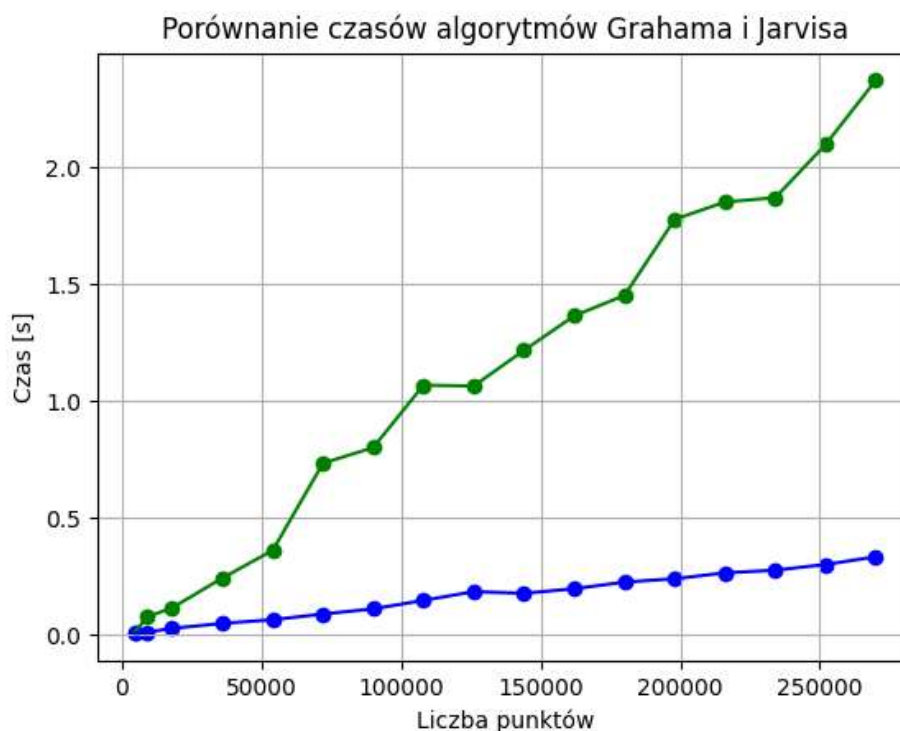


Wyk. 7 Porównanie czasów algorytmów Grahama i Jarvisa dla zbiorów typu C. Zielony - Graham, niebieski - Jarvis

d) Zbiory typu D, punkty leżące na kwadracie o ustalonych wierzchołkach i liczbie punktów na 2 bokach i 2 przekątnych

| Liczba punktów na boku | Liczba punktów na przekątnej | Wierzchołki | Czas wykonania Graham [s] | Czas wykonania Jarvis [s] | Szybszy algorytm | Różnica czasów [s] |
|------------------------|------------------------------|--|---------------------------|---------------------------|------------------|--------------------|
| 1500 | 750 | ((-31, 21), (23, 21), (23, 75), (-31, 75)) | 0.008265 | 0.004370 | Jarvis | 0.003895 |
| 3000 | 1500 | ((-16, -10), (4, -10), (4, 5), (-16, 5)) | 0.074955 | 0.009859 | Jarvis | 0.065096 |
| 6000 | 3000 | ((-31, 21), (23, 21), (23, 75), (-31, 75)) | 0.114244 | 0.026245 | Jarvis | 0.087999 |
| 12000 | 6000 | ((-16, -10), (4, -10), (4, 5), (-16, 5)) | 0.241936 | 0.047409 | Jarvis | 0.194527 |
| 18000 | 9000 | ((1, 34), (69, 34), (69, 100), (1, 100)) | 0.360404 | 0.063199 | Jarvis | 0.297206 |
| 24000 | 12000 | ((-5, -50), (38, -50), (38, 0), (-5, 0)) | 0.733465 | 0.087651 | Jarvis | 0.645814 |
| 30000 | 15000 | ((31, 17), (70, 17), (70, 56), (31, 56)) | 0.800618 | 0.109606 | Jarvis | 0.691012 |
| 36000 | 18000 | ((0, 2), (85, 2), (85, 87), (0, 87)) | 1.068053 | 0.145897 | Jarvis | 0.922156 |
| 42000 | 21000 | ((34, -36), (64, -36), (64, -6), (34, -6)) | 1.064480 | 0.183544 | Jarvis | 0.880936 |
| 48000 | 24000 | ((-5, -12), (37, -12), (37, 30), (-5, 30)) | 1.216845 | 0.176199 | Jarvis | 1.040646 |
| 54000 | 27000 | ((-5, -29), (41, -29), (41, 17), (-5, 17)) | 1.364952 | 0.196046 | Jarvis | 1.168906 |
| 60000 | 30000 | ((-26, -13), (25, -13), (25, 28), (-26, 28)) | 1.452393 | 0.224214 | Jarvis | 1.228179 |
| 66000 | 33000 | ((-31, 21), (23, 21), (23, 75), (-31, 75)) | 1.778072 | 0.238770 | Jarvis | 1.539302 |
| 72000 | 36000 | ((-16, -10), (4, -10), (4, 5), (-16, 5)) | 1.852724 | 0.263921 | Jarvis | 1.588803 |
| 78000 | 39000 | ((1, 34), (69, 34), (69, 100), (1, 100)) | 1.870918 | 0.275453 | Jarvis | 1.595465 |
| 84000 | 42000 | ((-5, -50), (38, -50), (38, 0), (-5, 0)) | 2.098240 | 0.299656 | Jarvis | 1.798585 |
| 90000 | 45000 | ((31, 17), (70, 17), (70, 56), (31, 56)) | 2.373265 | 0.332814 | Jarvis | 2.040451 |

Tabela 4 Czasy działania dla zbiorów typu D



Wyk. 8 Porównanie czasów algorytmów Grahama i Jarvisa dla zbiorów typu D. Zielony - Graham, niebieski - Jarvis

4. Wnioski

Analizowane algorytmy działały poprawnie dla wszystkich zadanych zbiorów testowych. Zbiory takie zaproponowano zapewne dlatego, aby można było oszacować złożoności algorytmów znając ich charakterystyki.

Dla zbiorów typu A algorytmy działały w podobnym czasie (Tabela 1 i Wyk. 5), punkty są losowe i stała k może być tego samego rzędu co $\log n$.

Dla danych typu B widzimy, że złożoność algorytmu Jarvisa jest równa $O(n^2)$, ponieważ w otoczkę znajdują się wszystkie punkty zbioru i dla tego przypadku algorytm Grahama jest dużo szybszy (Tabela 2 i Wyk. 6).

Dla zbiorów typu C i D za to algorytm Jarvisa wypada dużo lepiej, ponieważ zbiory typu C mogą zawierać maksymalnie 8 punktów w otoczkę, a zbiory typu D maksymalnie 4 (wierzchołki), czyli złożoność jest rzędu $O(n)$, gdzie w algorytmie Grahama to $O(n \log n)$ (Tabele 3-4 i Wyk. 7-8).

Również widzimy, że wybór współrzędnych punktów w zbiorach nie wpływa na czasy działania algorytmów (współrzędne wierzchołków prostokątów, środek oraz promień okręgu), tylko ilość analizowanych punktów ma znaczący wpływ na czasy działania.

Na podstawie wykresów 5- 8 możemy stwierdzić, że asymptotyczne złożoności obu algorytmów zgadzają się do przewidzianych we wstępie.